

## ФОРМИРОВАНИЕ И ГОРЕНИЕ ВЕЕРНЫХ СТРУЙ ГАЗОВ

A. П. Чугуев, A. H. Кухто, B. И. Макеев  
(Балашиха)

Обеспечение безопасности современных промышленных объектов и предотвращение загрязнения окружающей среды при проведении технологических операций по сбросу (дренажу) газов на объектах нефтехимии, криогенной техники и т. п. достигается применением разнообразных дренажных устройств. Вертикально установленная круглая труба, по которой газ отводится на нужную высоту, где происходит его рассеивание или сжигание,— широко распространенное в настоящее время устройство. Его недостаток — существование значительных размеров пламен или зон опасных концентраций при сбросе газов [1].

Эффективность сброса может быть существенно повышена применением веерных струй [2]. Однако экспериментально обоснованные данные для расчета параметров таких струй и размеров пламен отсутствуют, хотя теоретические исследования их газодинамических параметров проводились в [3, 4].

Рассмотрим турбулентную веерную струю. Пусть газ плотностью  $\rho_0$  и скоростью  $u_0$  вытекает в радиальном направлении  $x$  из кольцевой щели шириной  $\delta$  по окружности радиусом  $R_0$ . При течении струи он смешивается с окружающим газом плотностью  $\rho_a$ , что приводит к изменению в струе скорости  $u$ , расхода  $G$ , плотности  $\rho$ , ширины струи  $y_b$  и концентрации исходного газа  $c$ . С учетом усредненных значений всех величин в данном сечении  $x$ , а также отсутствия влияния подъемных сил можно записать уравнения сохранения импульса и массы

$$\rho u^2 (x + R_0) y_b = \rho_0 u_0^2 R_0 \delta, \quad (1)$$

$$\frac{dG}{dx} = \frac{d[\rho u (x + R_0) y_b]}{dx} = 2k \rho (x + R_0), \quad (2)$$

где  $k = \frac{dy_b}{dx}$  — эмпирическая константа.

Преобразование выражения (2) с учетом (1) и связи расхода с объемной концентрацией газа при условии сохранения объемных расходов по сечению струи дает дифференциальное уравнение, решение которого позволяет получить изменение концентрации газа вдоль радиуса веерной струи:

$$c = \left[ 1 + \bar{k} \frac{\rho_0}{\rho_a} \frac{x^2 + 2R_0 x}{R_0 \delta} \right]^{-\frac{1}{2}}. \quad (3)$$

Исследование уравнений (1)–(3) с учетом изменения  $k$  показывает, что зависимость объемной концентрации газа в струе от обобщающей координаты  $\xi = (x^2 + 2R_0 x)/R_0 \delta$  и отношения плотностей  $\rho_a = \rho_a/\rho_0$  имеет более сложный вид, чем выражение (3), и аппроксимируется степенной функцией с показателем степени меньше 1/2.

С целью апробации полученной теоретической зависимости (3) и уточнения показателя степени этой степенной функции проведены эксперименты по зондированию веерной струи и определению размеров веерного пламени. Экспериментальная установка включала устройство сброса, систему пробоотбора и газового анализа, состоящую из специально разработанного шприца с водяным поршнем и иглой (диаметром 1 и толщиной стенки 0,1 мм), хроматографа «Цвет 100», кинокамеры «Конвас-КСР-1М».

Опыты проводились на устройстве, выполненном в соответствии с [2], с диаметрами кольцевых щелей 80–160 и шириной щелей 0,5–4,0 мм. Расход газа выбирался так, чтобы обеспечивалось отсутствие



Рис. 2. Зависимость  $(L_{\text{пл}} + R_0)/\sqrt{R_0\delta}$  от  $\text{Fr}$ .

Рис. 1. Изменение концентраций водорода и избыточного азота вдоль оси веерной струи в зависимости от параметра  $\xi$ .

1, 3 — по соотношению (3) при  $k = 0,06$ ; 2, 4 — по соотношению (4); точки — эксперимент ( $\Delta$  — азот,  $\circ$  — водород).

влияния подъемной силы на формирующуюся струю. Он подсчитывался по падению давления в баллонах известного объема за заданный промежуток времени. Размеры пламени оценивались по результатам киносъемки.

На рис. 1 приведены измеренные значения концентраций водорода и избыточной концентрации азота в плоскости симметрии веерной струи. Видно, что экспериментальные данные для различных размеров радиальной щели хорошо обобщаются в координатах  $c$ ,  $\xi$ . Наклон кривых 1, 3 несколько больший, чем у полос экспериментальных точек. Сравнение данных для водорода и азота указывает на более слабую, чем в (3), зависимость концентраций также и от  $\rho_a$ .

Кривые 2, 4, построенные по выражению

$$c = 1,5 (\rho_a/\xi)^{0,4}, \quad (4)$$

наилучшим образом описывают экспериментальные данные. Предложенное уравнение (4) дает простую зависимость концентрации как от плотности вдуваемого газа, так и расстояния до радиальной щели. По (4) легко вычислить расстояние, на котором достигается определенная концентрация, размеры опасных зон при веерном сбросе газов. Эта процедура заметно упрощается при  $\xi \gg R_0/\delta$ , так как в этом случае  $\xi \approx (x + R_0)^2/R_0\delta$ , тогда из (4) получим

$$x + R_0 \approx \sqrt{\rho_a R_0 \delta} (1,5/c)^{1,25}. \quad (5)$$

По аналогии с (5) для максимальных длин пламен будет справедливо соотношение  $(L_{\text{пл}} + R_0)/\sqrt{R_0\delta} = \text{const}$ .

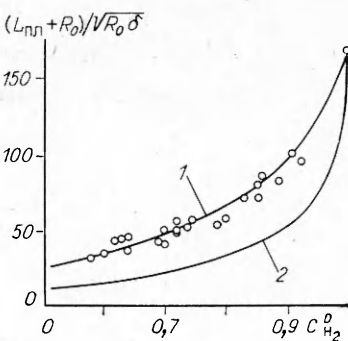
На рис. 2 приведены экспериментальные данные, показывающие зависимость безразмерной длины веерного пламени водорода  $(L_{\text{пл}} + R_0)/\sqrt{R_0\delta}$  от числа Фруда  $\text{Fr} = u_0^2/g \sqrt{R_0\delta}$ , где  $\sqrt{R_0\delta}$  — характерный размер кольцевой щели. При  $\text{Fr} \geq 2 \times 10^7$  безразмерная длина пламени достигает предельного и постоянного значения, равного 170. Следует отметить, что предельная безразмерная длина пламени водорода для цилиндрических труб  $L/d \approx 250$  [1] и достигается при  $\text{Fr} \geq 10^7$ . С учетом приведенных данных максимальная длина (в м) веерного пламени водорода может быть вычислена по выражению

$$L_{\text{пл}} + R_0 \approx 170 \sqrt{R_0\delta}. \quad (6)$$

Сравнение максимальных размеров цилиндрических и веерных пламен водорода (посредством выражения размера щели через эквивалентный диаметр и использования (6) и предельного соотношения для круглых труб) показывает, что длина веерного пламени более чем в

*Рис. 3. Зависимость относительной длины веерного пламени водорода от степени разбавления инертным газом (по соотношению (7)).*

1 — при разбавлении азотом (точки — эксперимент); 2 — при разбавлении хладоном 13В1.



4 раза меньше цилиндрического. Аналогичное уменьшение размеров наблюдается при сравнении зон загазованности.

Предложенная зависимость (5) может быть использована для расчета распределения концентраций в веерной струе горючего газа, например водорода, разбавленного инертным газом. При этом  $c$  в (5) будет означать  $c_{H_2}$ , отнесенную к мольной доле  $c_{H_2}^0$  на срезе радиальной щели, а  $\bar{\rho}_a^*$  — отношение плотностей окружающей среды (воздуха) и выбрасываемой смеси.

Длина веерного пламени водорода, разбавленного инертным газом, с учетом (5) и (6) может быть вычислена по уравнению

$$L_{пл}^* + R_0 \simeq 44 (c_{H_2}^0)^{1,25} \sqrt{\bar{\rho}_a^* R_0 \delta}. \quad (7)$$

Корректность предложенных зависимостей (6) и (7) подтверждена экспериментально при изучении размера веерного пламени водорода, разбавленного азотом. Из рис. 3 видно, что опытные данные повторяют ход расчетной зависимости (7), показывая хорошее совпадение с экспериментом.

Следует отметить, что применение тяжелых инертных разбавителей типа паров хладонов (12В1 или 13В1) приводит к более заметному сокращению длины пламени. Например (см. рис. 3, 2), уже при 5 %-ном разбавлении водорода хладоном длина пламени сокращается в 2 раза, так как при этом значительно уменьшается  $\bar{\rho}_a^*$ .

Таким образом, в работе проведены теоретические и экспериментальные исследования, позволившие найти связь распределения концентраций газов в веерной струе с геометрическими размерами кольцевой щели и отношением плотностей окружающей среды и сбрасываемого газа, и предложить простые аналитические зависимости для оценки размеров формирующихся опасных зон и пламен.

#### ЛИТЕРАТУРА

- Баев В. К., Ясаков В. А. ФГВ, 1974, 10, 4, 485.
- А. с. 877244 СССР, БИ, 1981, 40.
- Гиневский А. С. Теория турбулентных струй и следов.— М.: Машиностроение, 1969.
- Абрамович Г. Н., Смирнова И. П. Изв. АН СССР. МЖГ, 1967, 1, 7.
- Ching-Yen Chen, Rodi W. 6-th Intern. Heat Transfer Conference. Vol. 1.— Toronto, 1978.

*Поступила в редакцию 24/III 1987,  
после доработки — 5/I 1988*